# Основанная на обратном вынужденном комбинационном рассеянии компрессия пикосекундных импульсов в легкой воде

И. А. Ходасевич<sup>1)</sup>, В. А. Орлович<sup>1)</sup>, А. И. Водчиц<sup>1)</sup>, К. Д. Траскевич<sup>1)</sup>, Н. С. Новиков<sup>1)</sup>, Л. Е. Батай<sup>1)</sup>, С. М. Першин<sup>2)</sup>, М. Я. Гришин<sup>2)</sup>

1) Институт физики им. Б. И. Степанова НАН Беларуси, Минск, Беларусь, e-mail: v.orlovich@dragon.bas-net.by
2) Институт общей физики РАН, Россия, e-mail: pershin@kapella.gpi.ru

Впервые исследована компрессия импульсов при обратном вынужденном комбинационном рассеянии (OBKP), возбуждаемом в воде излучением второй гармоники пикосекундного ( $\approx 40~\text{пc}$ ) Nd:YAG лазера. Получены на стоксовой длине волны (650 нм) импульсы с длительностью  $\approx 2~\text{пc}$ . Обсуждены физические эффекты, ограничивающие получение в воде методом OBKP-компрессии субпикосекундных импульсов.

**Ключевые слова:** ВКР-компрессия импульсов; вода; пикосекундные лазерные импульсы; обратное ВКР; оптический пробой в воде.

## Compression of picosecond pulses in light water based on backward stimulated Raman scattering

I. A. Khodasevich<sup>1)</sup>, V. A. Orlovich<sup>1)</sup>, A. I. Vodchits<sup>1)</sup>, K. D. Traskevich<sup>1)</sup>, N. S. Novikov<sup>1)</sup>, L. E. Batay<sup>1)</sup>, S. M. Pershin<sup>2)</sup>, M. Ya. Grishin<sup>2)</sup>

1) B. I. Stepanov Institute of Physics of the NAS of Belarus, Minsk, Belarus
e-mail: v.orlovich@dragon.bas-net.by
2) Prokhorov General Physics Institute of the Russian Academy of Sciences, Moscow, Russia
e-mail: pershin@kapella.gpi.ru

Pulse compression at backward stimulated Raman scattering (BSRS) excited in water by the second harmonic of a picosecond ( $\sim 40$  ps) Nd:YAG laser was studied for the first time. Pulses with a duration of  $\approx 2$  ps were obtained at the Stokes wavelength (650 nm). Physical effects limiting the obtaining of subpicosecond pulses in water using BSRS compression are discussed.

*Keywords:* SRS- compression of pulses; water; picosecond laser pulses; backward SRS; optical breakdown in water.

#### Введение

Эффект ВКР-компрессии нано- и пикосекундных импульсов исследован достаточно хорошо при использовании в качестве активных сред преимущественно кристаллов [1, 2] и газов [3]. Установлено, что при встречном распространении стоксова и возбуждающего ВКР лазерного импульса уменьшение длительности стоксова импульса и увеличение его мощности происходит вследствие экспоненциального усиления переднего фронта этого импульса в поле неистощенного лазерного импульса. Такой процесс реализуется при ОВКР в сфокусированных лазерных пучках накачки. Усиливаемый стоксов импульс формируется из спонтанных шумов в фокальной области линзы. Первоначальная (до усиления)

длительность этого импульса определяется длиной фокальной перетяжки, а его мощность — пространственной длиной пути усиления в ВКР-среде. В перечисленных выше и других работах достигнуто сокращение длительности стоксовых импульсов в 10–20 раз по сравнению с длительностью накачки.

В последнее десятилетие значительное внимание уделяется исследованию легкой и тяжелой воды, как нелинейно-оптической среды (см., например [4–6]). При соблюдении некоторых условий и использовании излучения пикосекундных лазеров ВКР является основным эффектом, возбуждаемым в воде. Хотя коэффициент усиления ВКР g в воде для наиболее интенсивного валентного полносимметричного колебания  $v_1(A_1)$  с максимумом в области  $\approx 3400$  см<sup>-1</sup> достаточно мал ( $g \approx 0.3$  ГВт/см для длины волны 532 нм [7]), однако в сфокусированных потоках пикосекундного лазерного излучения порог возбуждения ВКР легко преодолевается, а эффективность ВКР-преобразования достигает десятков процентов [5, 6]. Недавно в нашей работе [8] получено 10-кратное сокращение длительности стоксовых импульсов по сравнению с длительностями импульсов возбуждающего излучения за счет попутного ВКР-усиления стоксовой затравки в параллельном пучке накачки. Физической причиной, приводящей к компрессии импульсов, в данном случае является дисперсия воды.

Целью настоящей работы является изучение возможности компрессии стоксовых импульсов при ОВКР в воде. Актуальность такой работы обусловлена тем, что большой частотный сдвиг стоксова излучения относительно возбуждающего позволяет получать короткоимпульсное излучение в новых спектральных диапазонах, недоступных стандартным лазерам, генерирующим пикосекундные импульсы.

#### 1. Экспериментальная установка

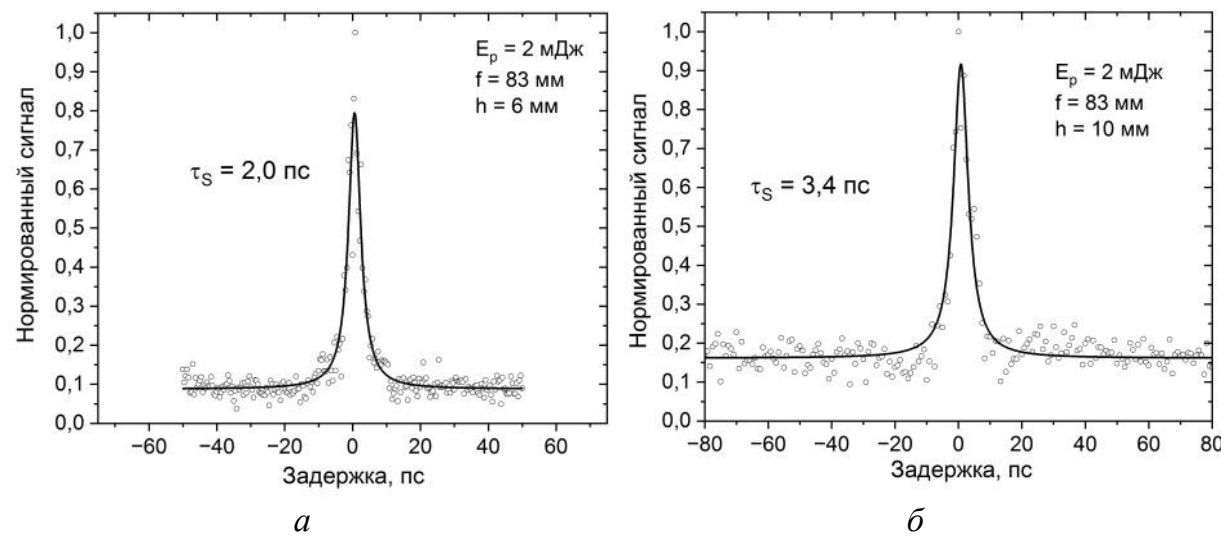
Схема экспериментальной установки подробно описана в [5, 9].

В экспериментах использовалось излучение второй гармоники пикосекундного Nd: YAG лазера (LOTIS TII, Минск, Беларусь, модель LS2151). Длительность импульса этого лазера на основной гармонике измерялась автокоррелятором и составляла  $60 \pm 5$  пс. Поперечное распределение потока излучения было близким к гауссовому с расходимостью  $\approx 0,4$  мрад. С помощью другого автокоррелятора измерялась длительность импульсов второй гармоники, которая была равна  $\approx 40 \pm 4$  пс, а также длительность импульсов OBKP.

Лазерное излучение на длине волны 532 нм с помощью зеркала и поворотных призм направлялось вертикально вниз и фокусировалось линзой в воду, находящуюся в кювете длиной 100 мм, через ее свободную поверхность. Фокусирующая линза могла плавно перемещаться в вертикальном направлении. Энергия импульсов ОВКР и спектр стоксова излучения измерялись прибором ИМО-2H или спектрометром с разрешением  $\approx 1$  нм. Одной из причин выбора вертикальной схемы возбуждения ВКР с фокусировкой лазерного излучения через свободную поверхность воды была необходимость жесткой фокусировки излучения накачки, при которой легко повреждалось входное окно кюветы.

#### 2. Результаты и обсуждение

При длительности импульса накачки  $\tau_{\rm H}\!pprox\!40$  пс максимальный путь усиления затравочного стоксова импульса, который формируется в фокальной области фокусирующей линзы в воде, равен  $L \sim \frac{\tau_{\rm H} \upsilon}{2}$ , где  $\upsilon$  - скорость света в воде. В нашем случае  $L \sim 5$  мм. Для достижения малых длительностей затравочных стоксовых импульсов, а значит, максимального их усиления при ОВКР необходимо, чтобы длина Рэлея сфокусированного пучка накачки  $L_R < L$ . Поэтому в экспериментах мы использовали линзы с малым фокусным расстоянием f = 3; 6 и 8,3 см. Пробные эксперименты показали, что при f = 3 см постоянно, а при f = 6 см в некоторых случаях наблюдался оптический пробой на поверхности воды с разбрызгиванием ее капель. Это обусловлено обнаруженной нами ранее особенностью поведения порога оптического пробоя воды, который в области расположения перетяжки пучка на глубине ~ 4 мм от поверхности воды резко снижается, что приводит воду в состояние пробоя или к увеличению ее турбулентности [9]. Стабильная генерация излучения OВКР в наших условиях происходила при f = 8.3 см. Поэтому дальнейшие измерения проводились с использованием линзы f = 8.3 см. В приближении гауссового пучка накачки для f = 8.3 см диаметр пучка в фокусе линзы составлял  $\sim 26$  мкм, а длина Рэлея  $L_R \approx 2.5$  мм, т. е. условие  $L_R < L$  было выполнено.



Примеры автокорреляционных функций стоксовых импульсов для энергии возбуждающего излучения  $E_p \approx 2$  мДж (фокусное расстояние линзы 83 мм) при глубинах фокусировки: a-h=6 мм;  $\delta-h=10$  мм

В предварительных экспериментах установлено, что длительность стоксова импульса возрастала с увеличением энергии  $E_p$  импульсов возбуждающего излучения. В нашем случае порог возбуждения ОВКР достигался при  $E_p \approx 1$  мДж. Минимальное значение  $\tau_S \approx 2$  пс было зарегистрировано при  $E_p \approx 2$  мДж и глубине расположения центра фокальной перетяжки пучка накачки h=6 мм относительно поверхности воды (рис. a). Увеличение h приводило к возрастанию длительности импульсов до  $\tau_S \approx 4$  пс. Одной из возможных причин возникновения такого

возрастания  $\tau_S$  может быть развитие самофокусировки пучка накачки при увеличении длины оптического пути возбуждающего излучения в воде.

В процессе проведения экспериментов измерялась также энергия стоксовых импульсов  $E_S$  при  $E_p=2$  мДж и различных значениях h. В частности, для h=6 мм энергия стоксовых импульсов достигала 30 мкДж, а для h=8 мм  $E_S\approx 140$  мкДж. Оценки показали, что пиковая мощность стоксова излучения составляла десятки МВт, что близко к пиковой мощности импульсов возбуждающего излучения.

#### Заключение

Таким образом, экспериментально продемонстрировано, что при ОВКР в воде возможно уменьшение длительности стоксовых импульсов в  $\approx 20$  раз по сравнению с длительностью импульсов возбуждающего пикосекундного излучения. Получена генерация импульсов с длительностями  $\approx 2$  пс и пиковой мощностью до десятков МВт на длине волны 650 нм. Дальнейшему уменьшению  $\tau_{\rm S}$  препятствуют конкурирующие с ВКР эффекты оптического пробоя и самофокусировки.

Работа выполнена при финансовой поддержке БРФФИ (проект Ф23 РНФ-040), РНФ (проект №23-42-10019) и ГПНИ «Фотоника и электроника для иноваций» (задание 1.2).

### Библиографические ссылки

- 1. *Kurbanov S. V., Losev L. L.* Raman compression of picosecond microjoule laser pulses in KGd(WO<sub>4</sub>)<sub>2</sub> crystal // Opt. Lett. 1999. Vol. 168. P. 227-232.
- 2. Формирование пикосекундных импульсов при обратном ВКР / В. Б. Иванов [и др.] // Квант. электрон. 1986. Т. 13, № 4. С. 857-860.
- 3. Каскадная ВР-компрессия импульсов АИГ-Nd-лазера / Р. Р. Бузялис [и др.] // Квант. электрон. 1987. Т. 14, № 11. С. 2266-2268.
- 4. *Gorelik V. S.* Multifrequency SRS in light and heavy water / V. S. Gorelik, A. I. Vodchits, V. A. Orlovich // J. Russian Laser Reseach. 2015. Vol. 36, № 6. P. 500-5007.
- 5. Asymmetrical-cavity picosecond Raman laserat the water-air interface / S. M. Pershin [et al.] // Opt. Lett. 2019. Vol. 44, N 20. P. 5045-5048.
- 6. Multiple increase in the efficiency of picosecond SRS excitation by Bessel laser beams in water / I. A. Khodasevich [et al.] // JETP Lett. 2024. Vol. 119, № 2. P. 89-93.
- 7. *Kumar V. R.*, *Kiran P. P.* Transformation of liquid water to ice VII during propogation of picosecond laser pulses: effect of wavelength and polarization // JOSA. 2016. Vol. 33, № 6. P. 1157-1168.
- 8. Двухцветный пикосекундный ВКР-лазер на воде в кратным сокращением длительности импульсов стоксовой компоненты в параллельном пучке / С. М. Першин [и др.] // Краткие сообщ.по физике ФИАН. 2025. № 2. С. 3-10.
- 9. Backward SRS suppression of ps pulses in water volume through the surface / S. M. Pershin [et al.] // Quant. Electron. 2022. Vol. 52, № 1. P. 283-288.